

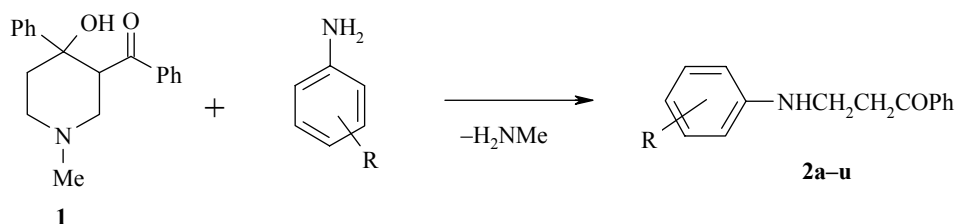
С. В. Волков, С. В. Кутяков, А. Н. Левов, Е. И. Полякова,  
Ле Туан Ань, С. А. Солдатова, П. Б. Терентьев<sup>а</sup>, А. Т. Солдатенков

**ПРЕВРАЩЕНИЕ 3-БЕНЗОИЛ-1-МЕТИЛ-4-ФЕНИЛ- $\gamma$ -ПИПЕРИДОЛА  
ПОД ДЕЙСТВИЕМ АРИЛАМИНОВ И АРИЛГИДРАЗИНОВ.  
СИНТЕЗ 3-АРИЛАМИНО-1-ОКСО-1-ФЕНИЛПРОПАНОВ  
И 1,3-ДИАРИЛПИРАЗОЛОВ  
И ИХ ФРАГМЕНТАЦИЯ ПОД ЭЛЕКТРОННЫМ УДАРОМ**

Установлено, что 3-бензоил-4-гидрокси-1-метил-4-фенилпиперидин при нагревании в присутствии ариламинов дециклизуется по типу ретроальдольной реакции с последующим переаминированием промежуточного основания Манниха и образованием 3-арил-амино-1-оксо-1-фенилпропанов. В случае использования арилгидразинов этот  $\gamma$ -пиперидол рециклизуется с образованием 1,3-диарилпиразолов и их 4,5-дигидропроизводных. Изучено масс-спектральное поведение серии 3-ариламинозамещенных 1-фенилпропанов.

**Ключевые слова:** ариламины, арилгидразины, 3-ариламино-1-оксо-1-фенилпропаны, 3-бензоил-4-гидрокси-1-метил-4-фенилпиперидин, 1,3-диарилпиразолы, масс-спектры.

Ранее [1] нами при попытке синтеза основания Шиффа из 3-бензоил-4-гидрокси-1-метил-4-фенилпиперидина (**1**) [2] и 1,2-диаминобензола было установлено необычное направление их взаимодействия в стандартных для конденсации такого рода условиях (кипячение в толуоле в присутствии каталитических количеств *para*-толуолсульфокислоты). Вместо ожидаемого имина из реакционной смеси были выделены моно- и ди-N-(бензоилэтил)замещенные *орто*-фенилендиамины и бензоаннелированный макроцикл – 1,4,8-триазациклоундекан. Строение полученных в этом случае соединений указывало на протекание сложного каскада реакций, главными из которых могли быть: дециклизация пиперидола **1**, переаминирование продуктов дециклизации и внутримолекулярная циклоконденсация новых оснований Манниха. В настоящем сообщении представлены результаты систематического изучения реакций пиперидола **1** с *para*-, *meta*- и *орто*-замещенными анилинами и арилгидразинами. Во всех случаях взаимодействия 2 экв. ариламинов с 1 экв. пиперидола **1** в указанных выше условиях образуются ожидаемые (в соответствии с результатами работы [1]) N-монобензоилэтилированные анилины **2a–u** (табл. 1 и 2). При использовании незамещенного анилина выход аминопропанона **2a** составил 49%. Введение в *para*-положение анилина электронодонорных заместителей, снижающих NH-кислотность ариламинов (алкильных или метоксильных групп), приводило к заметному уменьшению выхода соответствующих аминопропанонов **2b–e**.



**2 a** R = H, **b** R = 4-Me, **c** R = 4-Et, **d** R = 4-*i*-Pr, **e** R = 4-OMe, **f** R = 4-Br, **g** R = 4-Cl, **h** R = 4-I, **i** R = 4-COOEt, **j** R = 4-NO<sub>2</sub>, **k** R = 3-Cl, **l** R = 3-OMe, **m** R = 3-CF<sub>3</sub>, **n** R = 3-NO<sub>2</sub>, **o** R = 2-COOMe, **p** R = 2-F, **q** R = 2-Cl, **r** R = 2-Br, **s** R = 2-NH<sub>2</sub> [1], **t** R = HNCH<sub>2</sub>CH<sub>2</sub>COPh [1], **u** R = 2-Cl, 4-Br

В то же время наличие в *para*-положении галогенов или этоксикарбонильных групп обеспечивало повышение выхода аналогичных продуктов до 63–74%. Можно было предположить, что такой сильный электроноакцепторный заместитель, как нитрогруппа при атоме С(4) анилина, еще более увеличит выход ожидаемого 3-аминопропанона **2j**. Однако этот продукт образовался только в следовом количестве и был идентифицирован лишь при хромато-масс-спектрометрическом анализе реакционной смеси. Причиной неактивности 4-нитроанилина в этой реакции может, по-видимому, служить переход первичной аминогруппы в иминную с образованием иминохиноидного таутомера, который не способен вступать в реакцию переаминирования. Если нитрогруппа присутствует в *meta*-положении нитроанилина, то реакция происходит гладко и с высоким выходом (82%) образуется соединение **2n**.

При переходе к *ortho*-замещенным анилинам выходы 3-аминопропанонов, как правило, падают (соединения **2o–u**), что, по-видимому, связано с возрастанием роли стерического фактора.

В ИК спектрах полученных 3-(N-ариламино)пропанонов **2** присутствуют интенсивные полосы поглощения групп С=О (при 1655–1686 см<sup>-1</sup>) и NH (3210–3410 см<sup>-1</sup>). Для спектров ЯМР <sup>1</sup>H этих соединений (табл. 2) характерным является наличие двух триплетных сигналов протонов группировки О=С–СН<sub>2</sub>–СН<sub>2</sub>–N–, которые регистрируются в области 3.46–3.70 и 3.05–3.33 м. д. с КССВ 5.7–6.9 Гц. Протон вторичной аминогруппы резонирует в области 3.8–4.8 м. д. и проявляется в виде уширенного сигнала. Ароматические протоны, находящиеся в *ortho*-положении к аминогруппе анилинового фрагмента, дают диагностические по сильнополюному расположению сигналы (при 6.6–6.8 м. д.). В то же время характеристическими для идентификации всех соединений **2** являются три группы сигналов в слабых полях (в области 7.27–7.45, 7.46–7.65 и 7.93–7.97 м. д. с соотношением интегральной интенсивности 2 : 1 : 2), относящиеся к *meta*-, *para*- и *ortho*-протонам бензоильного фрагмента.

Спектры ЯМР  $^1\text{H}$  синтезированных соединений

Соединение	Химические сдвиги, $\delta$ , м. д. (КССВ, $J$ , Гц)					
	NCH <sub>2</sub> (2H, т)	O=CCH <sub>2</sub> (2H, т)	O=CPh	H <sub>аром</sub> в N-Ar	R, заместитель в N-Ar	NH (1H, уш. с)
<b>2a</b>	3.30 ( $J = 6.1$ )	3.63 ( $J = 6.1$ )	7.47 (2H, м, H-3,5), 7.58 (1H, м, H-4), 7.96 (2H, д, $J = 7.5$ , H-2,6)	6.60 (2H, д, $J = 7.6$ , H-2,6), 7.19 (2H, т, $J = 7.6$ , H-3,5)	6.72 (1H, т, $J = 7.4$ , H-4)	4.14
<b>2b</b>	3.28 ( $J = 6.0$ )	3.60 ( $J = 6.0$ )	7.46 (2H, м, H-3,5), 7.57 (1H, м, H-4), 7.95 (2H, д, $J = 7.6$ , H-2,6)	6.58 (2H, д, $J = 8.1$ , H-2,6), 7.00 (2H, т, $J = 8.1$ , H-3,5)	2.24 (3H, с, 4-CH <sub>3</sub> )	4.01
<b>2c</b>	3.26 ( $J = 6.07$ )	3.59 ( $J = 6.07$ )	7.45 (2H, м, H-3,5), 7.56 (1H, м, H-4), 7.94 (2H, д, $J = 7.4$ , H-2,6)	6.56 и 6.99 (2H каждый, сист. AA'BB', $J = 8.2$ , H-2,6 и H-3,5)	1.20 и 2.54 (3H, т и 2H, к соотв., $J = 7.55$ , CH <sub>2</sub> CH <sub>3</sub> )	3.98
<b>2d</b>	3.26 ( $J = 6.2$ )	3.60 ( $J = 6.2$ )	7.45 (2H, м, H-3,5), 7.56 (1H, м, H-4), 7.95 (2H, д, $J = 7.4$ , H-2,6)	6.58 и 7.04 (2H каждый, сист. AA'BB', $J = 8.3$ , H-2,6 и H-3,5)	1.26 (6H, д, $J = 5.0$ ) и 2.83 (1H, м, H(CH <sub>3</sub> ) <sub>2</sub> )	4.02
<b>2e</b>	3.28 ( $J = 6.2$ )	3.56 ( $J = 6.2$ )	7.27, 7.46 и 7.95 (2H, 1H и 2H соотв., все м, H-3,5, H-4 и H-2,6 соотв.)	6.63 и 6.78 (2H каждый, сист. AA'BB', $J = 8.9$ , H-2,6 и H-3,5)	3.75 (3H, с, 4-OCH <sub>3</sub> )	3.75
<b>2f</b>	3.27 ( $J = 5.9$ )	3.58 ( $J = 5.9$ )	7.47 и 7.57 (2H и 1H, оба м, H-3,5 и H-4 соотв.), 7.94 (2H, д, $J = 7.6$ , H-2,6)	6.51 и 7.24 (2H каждый, сист. AA'BB', $J = 8.7$ , H-2,6 и H-3,5)	4-Br	4.18
<b>2g</b>	3.24 ( $J = 5.7$ )	3.46 ( $J = 5.7$ )	7.45 и 7.54 (2H и 1H, оба м, H-,5- и H-4 соотв.), 7.93 (2H, д, $J = 7.5$ , H-2,6)	6.52 и 7.08 (2H каждый, сист. AA'BB', $J = 8.1$ , H-2,6 и H-3,5)	4-Cl	4.14
<b>2h</b>	3.23 ( $J = 5.7$ )	3.57 ( $J = 5.7$ )	7.46 и 7.56 (2H и 1H, оба м, H-3,5 и H-4 соотв.), 7.93 (2H, д, $J = 7.5$ , H-2,6)	6.40 и 7.38 (2H каждый, сист. AA'BB', $J = 8.6$ , H-2,6 и H-3,5)	4-I	4.18
<b>2i</b>	3.28 ( $J = 5.8$ )	3.67 ( $J = 5.8$ )	7.45 и 7.54 (2H и 1H, оба м, H-3,5 и H-4 соотв.), 7.93 (2H, д, $J = 7.4$ , H-2,6)	6.55 и 7.84 (2H каждый, сист. AA'BB', $J = 8.6$ , H-2,6 и H-3,5)	1.36 (3H, т, $J = 7.10$ ) и 4.31 (2H, к, $J = 7.10$ ), OCH <sub>2</sub> CH <sub>3</sub>	4.54
<b>2j*</b>	3.33 ( $J = 5.8$ )	3.71 ( $J = 5.8$ )	7.47 и 7.58 (2H и 1H, оба м, H-3,5 и H-4 соотв.), 7.95 (2H, д, $J = 7.5$ , H-2,6)	6.71 и 8.1 (2H каждый, сист. AA'BB', $J = 8.6$ , H-2,6 и H-3,5)	4-NO <sub>2</sub>	4.85

<b>2k</b>	3.26 ( <i>J</i> = 6.0)	3.59 ( <i>J</i> = 6.0)	7.47 и 7.57 (2H и 1H, оба м, Н-3,5 и Н-4 соотв.), 7.95 (2H, д, <i>J</i> = 7.6, Н-2,6)	6.49 (1H, д, д, <i>J</i> = 8.2 и <i>J</i> = 1.6, Н-6), 6.61 (1H, д, <i>J</i> = 1.7, Н-2), 6.65 (1H, д, <i>J</i> = 8.0, Н-4), 7.06 (1H, т, <i>J</i> = 8.0, Н-5)	3-Cl	4.27
<b>2l</b>	3.28 ( <i>J</i> = 5.7)	3.65 ( <i>J</i> = 5.7)	7.45 и 7.54 (2H и 1H, оба м, Н-3,5 и Н-4 соотв.), 7.94 (2H, д, д, <i>J</i> = 7.6 и <i>J</i> = 1.3, Н-2,6)	6.78 (1H, д, д, <i>J</i> = 7.3 и <i>J</i> = 1.9, Н-6), 7.19–7.26 (2H, м, Н-4,5), 7.23 (1H, с, Н-2)	2.56 (3H, с, COCH <sub>3</sub> )	4.33
<b>2m</b>	3.28 ( <i>J</i> = 5.6)	3.64 ( <i>J</i> = 5.6)	7.45–7.60 (3H, м, Н-3,4,5), 7.94 (2H, д, <i>J</i> = 7.8, Н-2,6)	6.74 (1H, д, д, <i>J</i> = 8.1 и <i>J</i> = 1.5, Н-6), 6.8 (1H, т, <i>J</i> = 1.5, Н-2), 6.91 (1H, д, <i>J</i> = 7.6, Н-4), 7.23 (1H, м, Н-5)	3-CF <sub>3</sub>	4.38
<b>2n</b>	3.17 ( <i>J</i> = 5.9)	3.66 ( <i>J</i> = 5.9)	7.45–7.61 (3H, м, Н-3,4,5), 7.96 (2H, д, <i>J</i> = 7.8, Н-2,6)	6.88 (1H, д, д, <i>J</i> = 8.1 и <i>J</i> = 1.8, Н-6), 7.26 (1H, м, Н-5), 7.43 (1H, т, <i>J</i> = 1.8, Н-2), 7.46 (1H, м, Н-4)	3-NO <sub>2</sub>	4.59
<b>2o</b>	3.35 ( <i>J</i> = 6.9)	3.70 ( <i>J</i> = 6.9)	7.45–7.90 (3H, м, Н-3,4,5), 7.96 (2H, д, <i>J</i> = 7.1, Н-2,6)	6.54 (1H, м, Н-6), 6.74 (1H, д, <i>J</i> = 8.4, Н-3), 7.3–7.9 (2H, м, Н-4,5)	3.85 (3H, с, OCH <sub>3</sub> )	3.86
<b>2p</b>	3.30 ( <i>J</i> = 6.0)	3.64 ( <i>J</i> = 6.0)	7.46 и 7.55 (2H и 1H, оба м, Н-3,5 и Н-4 соотв.), 7.95 (2H, д, <i>J</i> = 7.2, Н-2,6)	6.60, 6.75 и 6.93 (1H, 1H и 2H соотв., все м, Н-6, Н-4 и Н-3,5)	2-F	4.28
<b>2q</b>	3.24 ( <i>J</i> = 6.2)	3.63 ( <i>J</i> = 6.2)	7.40–7.52 (3H, м, Н-3,4,5), 7.92 (2H, д, д, <i>J</i> = 7.1, Н- 2,6)	6.62 и 7.12 (1H каждый, м, Н-4 и Н-5), 6.71 (1H, д, д, <i>J</i> = 7.9 и <i>J</i> = 1.1, Н-6), 7.23 (1H, д, д, <i>J</i> = 7.8 и <i>J</i> = 1.0, Н-3)	2-Cl	4.70
<b>2r</b>	3.05 ( <i>J</i> = 6.3)	3.46 ( <i>J</i> = 6.3)	7.27–7.37 (3H, м, Н-3,4,5), 7.78 (2H, д, д, <i>J</i> = 7.4, Н- 2,6)	6.45 и 7.07 (1H каждый, оба м, Н-4 и Н-5), 6.58 (1H, д, д, <i>J</i> = 8.5 и <i>J</i> = 1.2, Н-6), 7.28 (1H, д, <i>J</i> = 8.2, Н-3)	2-Br	4.70
<b>2u</b>	3.29 ( <i>J</i> = 5.9)	3.64 ( <i>J</i> = 5.9)	7.47 и 7.57 (2H и 1H соотв., Н-3,5- и Н-4), 7.95 (2H, д, <i>J</i> = 7.0, Н-2,6)	6.58 (1H, д, <i>J</i> = 8.5, Н-6), 7.21 (1H, д, <i>J</i> = 8.5, Н-5), 7.36 (1H, с, Н-3)	2-Cl + 4-Br	4.70

\* Спектр получен путем вычитания спектра исходного 4-нитроанилина из спектра его смеси с продуктом **2j**.

## Характеристики синтезированных соединений

Соединение	Брутто-формула	Найдено, % Вычислено, %			Т. пл., °С	ИК спектр, ν, см <sup>-1</sup>		Выход, %
		C	H	N		NH	C=O	
<b>2a</b>	C <sub>15</sub> H <sub>15</sub> NO	<u>79.80</u>	<u>6.88</u>	<u>6.25</u>	109–110	3400, 3410	1686	49
		80.00	6.67	6.22				
<b>2b</b>	C <sub>16</sub> H <sub>17</sub> NO	<u>80.15</u>	<u>7.35</u>	<u>6.01</u>	110–111	3381, 3400	1681	37
		80.33	7.11	5.86				
<b>2c</b>	C <sub>17</sub> H <sub>19</sub> NO	<u>79.88</u>	<u>7.62</u>	<u>5.47</u>	94–95	3375	1678	44
		80.63	7.51	5.53				
<b>2d</b>	C <sub>18</sub> H <sub>21</sub> NO	<u>80.30</u>	<u>7.43</u>	<u>5.12</u>	108–109	3378	1679	46
		80.90	7.87	5.24				
<b>2e</b>	C <sub>16</sub> H <sub>17</sub> NO <sub>2</sub>	<u>75.41</u>	<u>6.55</u>	<u>5.62</u>	104–105	3361	1673	30
		75.29	6.67	5.49				
<b>2f</b>	C <sub>15</sub> H <sub>14</sub> BrNO	<u>59.14</u>	<u>4.39</u>	<u>4.50</u>	138–140	3400	1681	65
		59.21	4.61	4.61				
<b>2g</b>	C <sub>15</sub> H <sub>14</sub> ClNO	<u>70.00</u>	<u>5.70</u>	<u>5.82</u>	132–133	3390	1677	63
		69.37	5.39	5.39				
<b>2h</b>	C <sub>15</sub> H <sub>14</sub> INO	<u>51.36</u>	<u>3.89</u>	<u>4.07</u>	140–141	3388	1667	74
		51.28	3.99	3.99				
<b>2i</b>	C <sub>18</sub> H <sub>19</sub> NO <sub>3</sub>	<u>72.12</u>	<u>6.80</u>	<u>5.00</u>	139–140	3366	1670, 1678	66
		72.73	6.40	4.71				
<b>2j</b>	C <sub>15</sub> H <sub>14</sub> N <sub>2</sub> O <sub>3</sub>							<1
<b>2k</b>	C <sub>15</sub> H <sub>14</sub> ClNO	<u>70.01</u>	<u>5.64</u>	<u>5.73</u>	112–113	3371	1670	75
		69.37	5.39	5.39				
<b>2l</b>	C <sub>17</sub> H <sub>17</sub> NO <sub>2</sub>	<u>75.90</u>	<u>6.53</u>	<u>5.63</u>	81–82	3378	1678	79
		76.40	6.37	5.24				
<b>2m</b>	C <sub>16</sub> H <sub>14</sub> F <sub>3</sub> NO	<u>65.63</u>	<u>4.63</u>	<u>4.83</u>	105–106	3378	1670	84
		65.53	4.78	4.78				
<b>2n</b>	C <sub>15</sub> H <sub>14</sub> N <sub>2</sub> O <sub>3</sub>	<u>66.78</u>	<u>5.31</u>	<u>10.24</u>	116–117	3394	1673*	82
		66.67	5.19	10.37				
<b>2o</b>	C <sub>17</sub> H <sub>17</sub> NO <sub>3</sub>	<u>72.01</u>	<u>6.09</u>	<u>5.11</u>	110–112	3353	1680, 1673	60
		72.09	6.01	4.95				
<b>2p</b>	C <sub>15</sub> H <sub>14</sub> FNO	<u>73.61</u>	<u>5.48</u>	<u>5.51</u>	95–96	3390	1680	60
		74.10	5.76	5.76				
<b>2q</b>	C <sub>15</sub> H <sub>14</sub> ClNO	<u>69.94</u>	<u>5.76</u>	<u>5.02</u>	Масло	3385	1675	23
		69.37	5.39	5.39				
<b>2r</b>	C <sub>15</sub> H <sub>14</sub> BrNO	<u>59.45</u>	<u>4.26</u>	<u>4.85</u>	Масло	3400	1655	17
		59.21	4.61	4.61				
<b>2u</b>	C <sub>15</sub> H <sub>13</sub> BrClNO	<u>53.57</u>	<u>3.57</u>	<u>4.43</u>	Масло	3392	1687	35
		53.25	3.84	4.14				

\* ИК спектр, ν, см<sup>-1</sup>: 1530, 1334 (NO<sub>2</sub>).

Детальный анализ масс-спектров соединений **2a–i,k–q,t**, полученных в условиях ионизации электронами (табл. 3) позволил оценить относительную стабильность их молекулярных ионов и найти общие пути фрагментации последних.

Анализ полученных масс-спектров соединений **2** (табл. 3 и 4) показывает, что стабильности их молекулярных ионов ( $W_M$ ) колеблются в интервале от 1.9 до 17.9% полного ионного тока, однако выявить влияние электронных свойств заместителей в анилиновой части молекулы на устойчивость молекулярного иона не представляется возможным.

## Масс-спектры соединений 2a–i,k–q,t

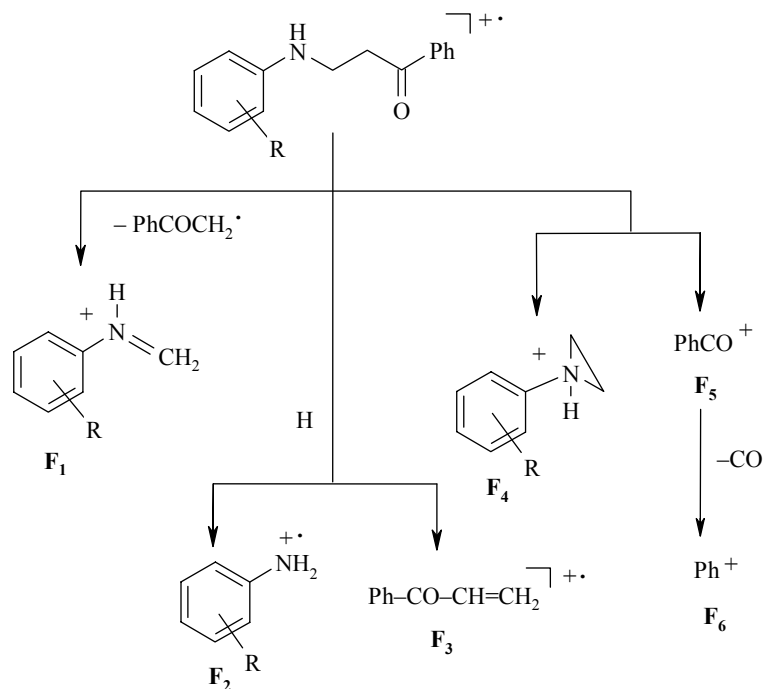
Соединение	$m/z$ ( $I_{\text{отн}}$ , %)*
2a	225 [M] (27), 120 (5), 118 (5), 105 (100), 93 (6), 91 (6), 77 (47), 65 (10), 52 (15)
2b	239 [M] (28), 238 (25), 120 (100), 118 (20), 105 (31), 91 (26), 77 (63), 65 (14), 51 (20)
2c	253 [M] (100), 238 (14), 148 (13), 134 (85), 119 (15), 118 (21), 105 (48), 91 (15), 77 (70)
2d	267 [M] (13), 252 (15), 148 (35), 136 (37), 132 (49), 120 (100), 105 (82), 91 (20), 77 (81)
2e	255 [M] (59), 136 (100), 135 (27), 123 (24), 120 (38), 108 (36), 105 (80), 77 (59), 51 (22)
2f	303 [M] (40)**, 184 (100)**, 171 (9)**, 155 (6)**, 118 (12), 105 (58), 91 (19), 77 (87), 51 (21)
2g	259 [M] (34)**, 140 (100)**, 132 (15), 127 (17)**, 111 (8), 105 (39), 77 (56), 65 (8), 51 (16)
2h	351 [M] (56), 232 (88), 219 (25), 105 (100), 92 (19), 91 (23), 77 (29), 65 (23), 51 (35)
2i	297 [M] (27), 178 (74), 165 (35), 132 (48), 120 (100), 105 (28), 77 (98), 65 (34), 51 (45)
2k	259 [M] (56)**, 140 (72)**, 127 (10)**, 118 (11), 111 (13)**, 105 (54), 99 (19)**, 77 (100), 51 (40)
2l	267 [M] (27), 162 (11), 148 (100), 135 (13), 120 (17), 105 (13), 77 (55), 51 (23), 43 (40)
2m	293 [M] (37), 274 (10), 174 (100), 161 (18), 145 (10), 120 (8), 105 (21), 77 (22), 51 (8)
2n	270 [M] (29), 151 (53), 138 (34), 132 (18), 120 (21), 105 (100), 92 (25), 77 (84), 51 (25)
2o	233 [M] (42), 164 (56), 151 (8), 146 (20), 132 (100), 119 (6), 105 (24), 77 (30), 51 (6)
2p	243 [M] (26), 132 (21), 124 (100), 111 (67), 105 (69), 83 (20), 77 (98), 55 (21), 51 (42)
2q***	273 [M] (6)**, 140 (89)**, 134 (100), 133 (66), 127 (12)**, 119 (15), 103 (20), 91 (14), 77 (51)
2t	372 [M] (75), 240 (13), 147 (14), 133 (51), 132 (35), 119 (44), 105 (94), 92 (14), 77 (100)

\* Приведены [M] и восемь наиболее интенсивных пиков ионов.

\*\* Ионы, содержащие изотопы  $^{35}\text{Cl}$  или  $^{79}\text{Br}$ .

\*\*\* В виде гидразона.

Тем не менее, характер фрагментации молекулярных ионов всех соединений **2** имеет много общего (что видно из нижеприведенной схемы) и определяется прежде всего расщеплением связи C–C в бензоилэтильном фрагменте молекулы с образованием иона **F**<sub>1</sub>, интенсивность пика которого в большинстве случаев максимальна или близка к максимальной (табл. 4). Вторым по значимости каналом распада является отщепление бензоильного фрагмента с образованием ионов **F**<sub>4</sub>, **F**<sub>5</sub> и **F**<sub>6</sub>. Наконец, расщепление молекулярного иона по третьему основному пути сопровождается переносом атома водорода от бензоилэтильного фрагмента на атом азота с образованием перегруппировочных нечетно-электронных ионов **F**<sub>2</sub> и **F**<sub>3</sub>. Как следует из данных табл. 4, суммарная интенсивность пиков молекулярного иона и перечисленных выше шести фрагментных ионов составляет от 33 до 70% полного ионного тока, что указывает на высокую селективность процесса фрагментации исследованных соединений. По всей вероятности, в молекулярных ионах всех соединений **2** положительный заряд локализуется преимущественно на аминоэтилбензоильной части молекулы. Подтверждением этого вывода является очень низкая интенсивность (или даже отсутствие) пиков ионов, связанных с первичным отщеплением или расщеплением заместителей R.

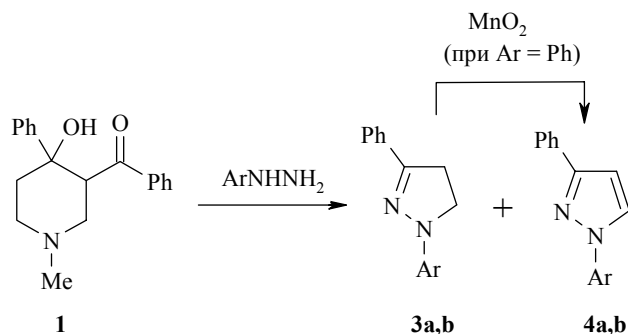


Так, например, в масс-спектре ацетилзамещенного **2l** отсутствует ион  $[\text{M}-\text{Me}]^+$ , столь характерный для ацетиларенов [3], в масс-спектрах 4-метокси- (**2e**) и 4-карбэтоксизамещенных (**2i**) отсутствуют ионы, обусловленные потерей метильной (соответственно карб-этоксильной) группы, типичные для масс-спектров 4-метокси(карб-этокс)анилинов [3–5]. Такие процессы однако (зачастую в незначительной степени) протекают лишь после образования ионов  $\text{F}_1$  или  $\text{F}_2$ . Интенсивные пики ионов  $\text{F}_1$ – $\text{F}_4$  и  $\text{F}_6$  наблюдаются даже в масс-спектре соединения **2q**, а в случае 1,2-бис(2-бензоилэтиламино)-бензола (**2t**) молекулярный ион первоначально теряет молекулу фенилвинилкетона, а образовавшийся нечетноэлектронный (псевдо-молекулярный) ион 2-аминозамещенного **2s** элиминирует фенацильный радикал с образованием иона  $\text{F}_1$ .

При замене ариламинов на арилгидразины происходит более сложная цепь последовательных превращений пиперида **1**. Действительно, анализ спектров ЯМР  $^1\text{H}$  реакционной смеси и ее хромато-масс-спектрометрический анализ показали, что в случае фенилгидразина конечными продуктами рассматриваемого взаимодействия явились 1,3-дифенилзамещенные 4,5-дигидропиразол (**3a**) и пиразол **4a**.

Оба вещества имеют близкую хроматографическую подвижность и выделены колоночной хроматографией лишь в виде смеси с общим выходом 55% (в соотношении 1:2, соответственно, по данным ЯМР).

При окислении этой смеси диоксидом марганца был получен с высоким выходом индивидуальный пиразол **4a**. Использование вместо фенилгидразина его 2,4-динитропроизводного привело, как и предполагалось, к полному дегидрированию промежуточного дигидропиразола **3b** *in status nascendi*.



**3,4 a** Ar = Ph, **b** Ar = C<sub>6</sub>H<sub>3</sub>(NO<sub>2</sub>)<sub>2</sub>-2,4

Исходя из предположения, что 3-бензоилзамещенный  $\gamma$ -пиперидол **1** на первой стадии его превращений в 3-аминопропаноны **2** претерпевает ретроальдольную реакцию, мы изучили взаимодействие 4-броманилина с основанием Манниха **5b**. Реакцию проводили в присутствии эквимольного количества пиридина для перевода соли Манниха **5a** [2] в свободное основание **5b**. В результате с выходом 60% был выделен ожидаемый аминпропанон **2f**.

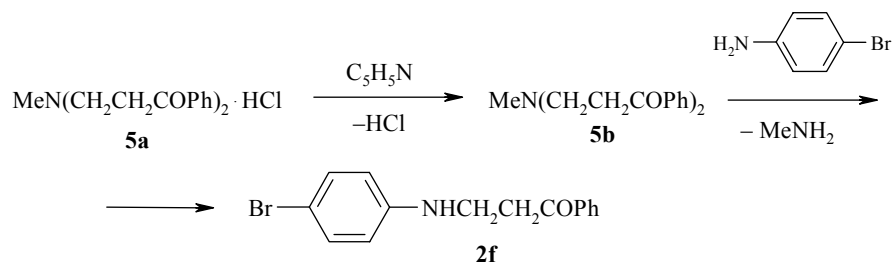
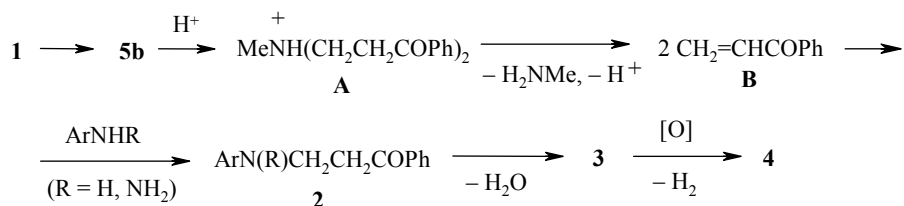


Таблица 4

Интенсивности пиков характеристических ионов в масс-спектрах соединений **2a–i,k–q,t** ( $\Sigma I$ , %)

Соединение	$W_M$	F <sub>1</sub>	F <sub>2</sub>	F <sub>3</sub>	F <sub>4</sub>	F <sub>5</sub>	F <sub>6</sub>	$\Sigma_{M+Fi}\%$
<b>2a</b>	11.0	–	2.0	–	1.8	37.6	17.3	69.7
<b>2b</b>	6.6	22.1	0.9	0.9	1.0	6.4	15.4	58.3
<b>2c</b>	17.9	15.4	0.5	2.3	1.3	7.7	11.8	60.0
<b>2d</b>	1.9	3.8	3.1	6.2	–	8.9	8.5	32.4
<b>2e</b>	9.5	15.2	4.4	2.1	0.4	5.4	8.0	59.2
<b>2f</b>	12.0	26.6	2.2	–	0.8	8.5	11.6	61.7
<b>2g</b>	8.2	24.6	6.1	1.7	1.0	8.6	11.0	61.2
<b>2h</b>	8.3	12.2	3.7	1.0	0.3	15.7	13.1	54.3
<b>2i</b>	3.3	8.1	3.8	4.3	0.2	9.5	10.5	39.7
<b>2k</b>	11.6	13.6	2.0	–	1.7	7.8	13.8	50.2
<b>2l</b>	5.3	18.8	3.0	2.5	2.2	6.6	9.3	47.7
<b>2m</b>	13.1	33.0	5.0	0.8	2.2	5.9	6.7	68.9
<b>2n</b>	5.7	8.1	5.1	3.7	0.6	13.3	8.9	45.4
<b>2o</b>	11.0	14.4	2.1	25.8	0.4	6.2	7.8	51.8
<b>2p</b>	4.0	14.0	8.7	2.6	0.6	9.1	12.6	67.7
<b>2q</b>	1.4	18.3	1.8	1.7	0.7	2.1	8.2	44.2
<b>2t</b>	12.4	6.8	1.7	4.7	1.9	14.5	7.4	60.7

На основании полученных в предшествующем [1] и настоящем сообщениях результатов, можно представить схему последовательных превращений пиперидола **1** под действием ариламинов и арилгидразинов в виде:



Образующееся после ретроальдольного расщепления основание Манниха **5b** после протонирования дает промежуточный катион **A**, который, в свою очередь, распадается до метиламина и винилфенилкетона **B**. Последний затем вступает в реакцию Михаэля с ариламинами и образует новые основания **2**, которые обычно трудно синтезировать прямой конденсацией по методу Манниха. В случае R = NH<sub>2</sub> аминокетоны легко подвергаются гетероциклизации и превращаются в дигидропиразолы **3**.

В соответствии с предсказаниями интернет-программы PASS [6] 3-(N-ариламино)кетоны **2a–c, e, g, k, n, o, q** могут обладать антилейшманиальной активностью с вероятностью 66–78%. Вазодилаторное действие на сосуды сердца могут проявить соединения **2e, n, o** (вероятность 60–71%). Антивирусной (против герпеса) активности (вероятность 61–67%) можно ожидать у аминокетонов **2c, d, g, h, p, r, u**, а также гидразона аминокетона **2q**. Трифторфенилзамещенный аминокетон **2m** перспективен для испытаний в качестве ингибитора тирозинфосфатазы (74% вероятность), а N-(2-фторфенил)аминокетон **2p** – в качестве агониста интерферона (59%) и ГАМК-рецептора (61%). Особо высока вероятность биоактивности аминокетона **2r** как агониста интерферона (70%) и антагониста интерлейкина (90%).

## ЭКСПЕРИМЕНТАЛЬНАЯ ЧАСТЬ

Спектры ЯМР <sup>1</sup>H снимали на спектрометре Bruker WP-400 (400 МГц) в CDCl<sub>3</sub>, внутренний эталон ТМС, масс-спектры (ЭУ) получали на масс-спектрометре Finnigan MAT Incos 50 (70 эВ). ИК спектры регистрировали на спектрометре IR-75 в таблетках KBr. Для ТСХ использовали пластины Silufol UV-254 (проявление парами иода). Характеристики синтезированных соединений приведены в табл. 1–4.

**Получение 3-аминопропанов 2** (общая методика). А. Раствор 2 ммоль пиперидола **1**, 4 ммоль ариламина и 10 мг TsOH в 30 мл толуола кипятят 3–5 ч в приборе Дина–Старка. Растворитель упаривают до ½ объема и охлаждают. Выделившиеся кристаллы отделяют и перекристаллизовывают из соответствующего растворителя. Маслообразные продукты **2q, r, u** выделяют колоночной хроматографией на силикагеле, элюируя смесью гексан–хлороформ, 5:1. Соединение **2q** охарактеризовано также гидразоном, который получают с выходом 36% в виде светло-желтых кристаллов кипячением метанольного раствора 2.8 г (10 ммоль) аминокетона с 2 мл гидразингидрата. Т. пл. 86–88 °С. ИК спектр, ν, см<sup>-1</sup>: 1593 (C=N), 3210 (NH), 3330 (NH<sub>2</sub>). Спектр ЯМР <sup>1</sup>H, δ, м. д.: 2.99 и 3.45 (2H каждый, оба м, NCH<sub>2</sub> и N=CCH<sub>2</sub>), 4.51 (1H, уш. с, NH), 5.51 (2H, с, NH<sub>2</sub>), 6.65, 7.11 и 7.25 (суммарно 4H, все м, NC<sub>6</sub>H<sub>4</sub>Cl), 7.40–7.76 (5H, м, C<sub>6</sub>H<sub>5</sub>). Масс-спектр см. табл. 3.

**Аминокетон 2a** описан в [7], т. пл. 111–112 °С.

**Соединения 2s, t**, а также диацетат соединения **2s** получены ранее [1].

Б. К суспензии 0.66 г (2 ммоль) соли Манниха **5a** в 30 мл толуола добавляют 0.16 г

(2 ммоль) пиридина, 0.71 г (4.1 ммоль) 4-броманилина и 10 мг TsOH. Смесь кипятят 3 ч, растворитель упаривают и остаток перекристаллизовывают из эфира. Получают 0.36 г (60%) аминопропанона **2f**.

**Получение 1,3-дифенил-4,5-дигидропиразола (3a) и 1,3-дифенилпиразола (4a).** Смесь 1.2 г (4 ммоль) пиперидола **1**, 0.6 г (4 ммоль) гидрохлорида фенилгидразина, 0.32 г (4 ммоль) пиридина и 10 мг TsOH кипятят 5 ч. Растворитель отгоняют и остаток разделяют на хроматографической колонке с силикагелем, элюируя гексаном. Выделяют 0.5 г (55%) смеси соединений **3a** и **4a** (в соотношении 1:2, по данным спектра ЯМР и хромато-масс-спектра). Спектр ЯМР <sup>1</sup>H дигидропиразола **3a**, δ, м. д. (*J*, Гц) (получают вычитанием сигналов спектра пиразола **4a** из спектра его смеси с дигидропиразолом **3a**): 3.25 и 3.90 (2H каждый, оба т, *J* = 10.5, 3-CH<sub>2</sub> и 2-CH<sub>2</sub> соответственно); 6.85 (1H, т, *J* = 7.4, H-4 NPh фрагмента); 7.1 (2H, д, *J* = 8.0, H-2,6 NPh фрагмента); 7.25–7.80 (7H, м, H аром.).

**Окисление смеси 3a и 4a.** К раствору 0.1 г (0.4 ммоль) смеси соединений **3a** и **4a** в 30 мл толуола добавляют 0.7 г (8 ммоль) MnO<sub>2</sub> и полученную суспензию кипятят 3 ч. Твердую фазу отфильтровывают и промывают на фильтре 10 мл горячего толуола, объединенные фильтраты упаривают до ¼ начального объема и охлаждают. Получают 80 мг (80%) 1,3-дифенилпиразола **4a** в виде серовато-белых кристаллов, т. пл. 82 °С (т. пл. 84–85 °С [8]).

**1-(2,4-Динитрофенил)-3-фенилпиразол (4b)** получают аналогично синтезу смеси **3a** и **4a** из 0.6 г (2 ммоль) пиперидола **1** и 0.8 г (4 ммоль) 2,4-динитрофенилгидразина. Разделением реакционной смеси колоночной хроматографией на силикагеле выделяют 0.45 г (60%) соединения **4b** в виде желтоватых кристаллов, т. пл. 159–160 °С (т. пл. 162–163 °С [9]).

#### СПИСОК ЛИТЕРАТУРЫ

1. А. Т. Солдатенков, С. В. Кутяков, С. В. Волков, Ж. А. Мамырбекова, К. Б. Полянский, *ХТС*, 1731 (2004). [*Chem. Heterocycl. Comp.*, **40**, 1499 (2004)].
2. J. T. Plati, W. Wenner, *J. Org. Chem.*, **14**, 543 (1949).
3. П. Б. Терентьев, А. П. Станкявичус, *Масс-спектрометрический анализ биологически активных азотистых оснований*, Мокслас, Вильнюс, 1981.
4. А. Т. Лебедев, *Масс-спектрометрия в органической химии*, Бином, Москва, 2003.
5. В. Г. Заикин, А. В. Варламов, А. И. Микая, Н. С. Простаков, *Основы масс-спектрометрии органических соединений*, МАИК Наука, Москва, 2001, с. 286.
6. А. В. Садым, А. А. Лагунин, Д. А. Филимонов, В. В. Поройков, *Хим.-фарм. журн.*, **36**, 21 (2002).
7. *Beilst.*, vol. 14, 62, 1931.
8. *Словарь органических соединений*, Изд-во иностр. лит., Москва, 1949, т. 1, с. 1041.
9. J. Elguero, R. Jacquier, *Bull. Soc. Chim. Fr.*, 2832 (1966).

Российский университет дружбы народов,  
Москва 117198  
e-mail: swelfen@mail.ru

Поступило 17.02.2006  
После доработки 23.06.2006

<sup>a</sup>Московский государственный университет  
им. М. В. Ломоносова, Москва 119992, Россия  
e-mail: petr\_terentev@mail.ru